

Range Image Acquisition

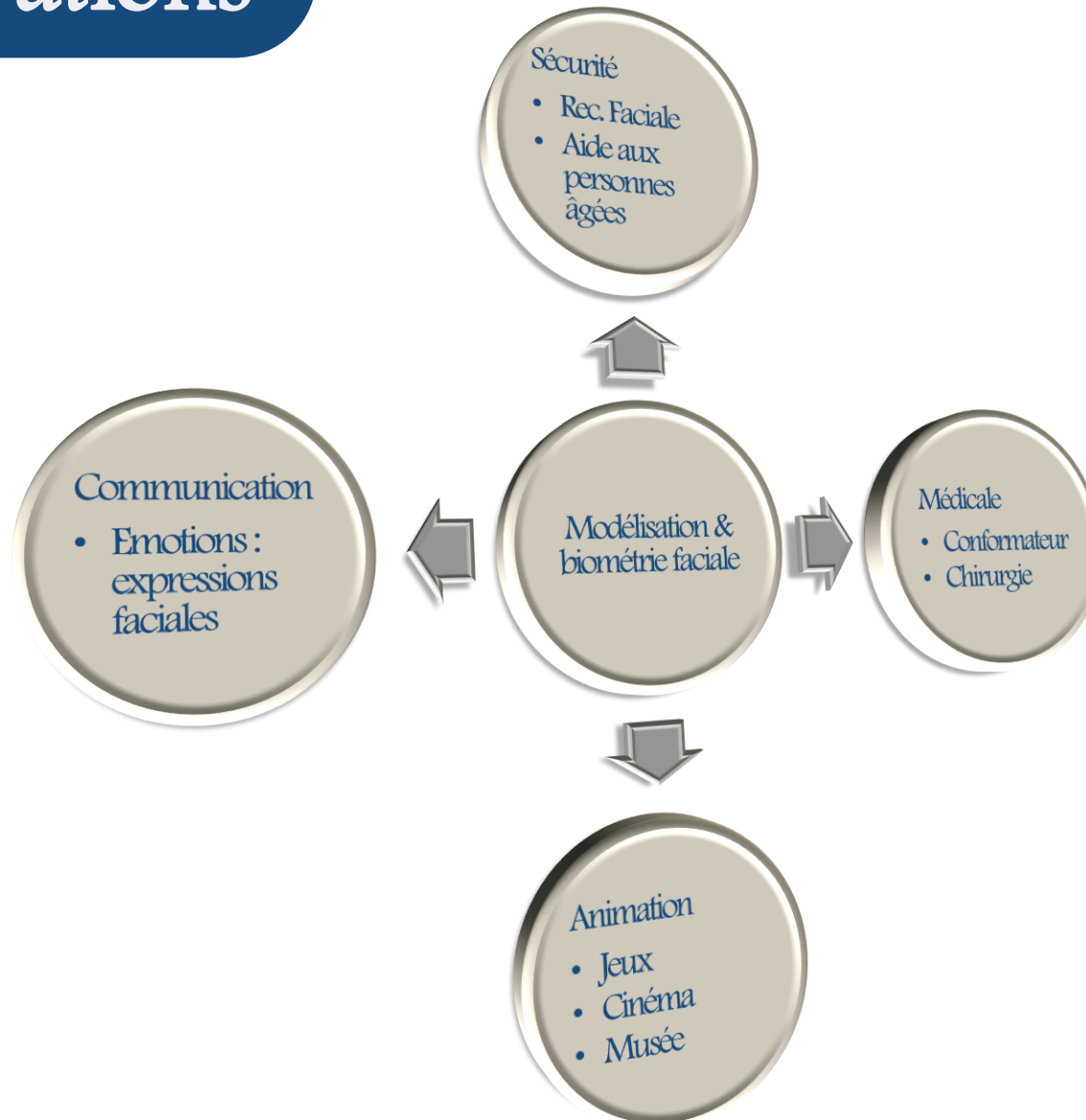


Laboratoire d'InfoRmatique en Image et Systèmes d'information

LIRIS UMR 5205 CNRS/INSA de Lyon/Université Claude Bernard Lyon 1/Université Lumière Lyon 2/Ecole Centrale de Lyon
Université Claude Bernard Lyon 1, 36 avenue Guy de Collongue - 69134 Ecully Cedex
<http://liris.cnrs.fr>



Motivations



Motivations

Biométrie et animation faciale

- Reconnaissance de visages en 3D
- Jeux vidéos
- Cinéma 3D

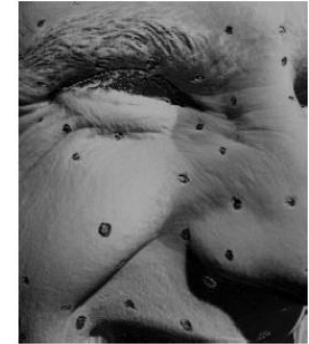
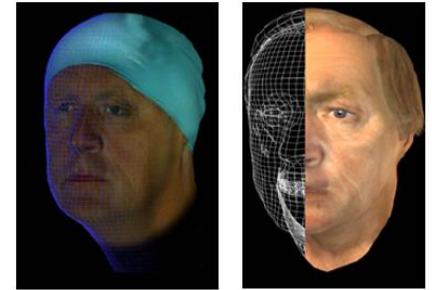
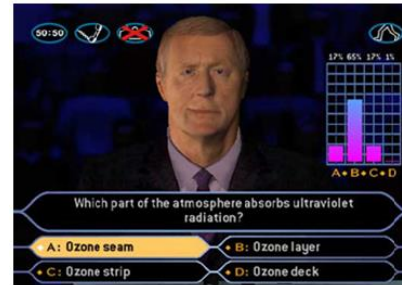
Des fins médicales

- Chirurgie esthétique
- Suivi postopératoire

Mode et beauté

- Coupe de cheveux
- Lunettes de soleil

Des fins artistiques



Scénario sécurité

☰ Lutte contre les fraudes, les vols, les crimes, le terrorisme,...

☰ Besoin de la sécurité

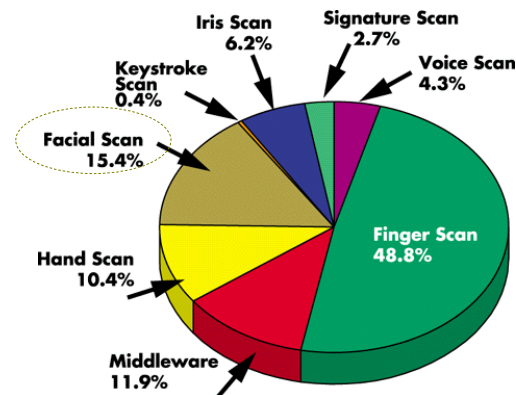
- services public : aéroport, transport
- domaine privé : secteur bancaire
- secteur professionnel : lieux de travail
- etc.

☰ Besoin d'identifier ou d'authentifier

➔ Biométrie

☰ Pourquoi la modalité faciale ?

- + acquisition peu intrusive et sans contact
- + plus acceptable par les humains
- taux de reconnaissance peu satisfaisant



Source: International Biometric Group,
New York, NY; 1.212.809.9491

La ministre de l'intérieur annonce une augmentation de 300% des caméras de vidéosurveillance entre 2007-2010

Scénario médical

☰ Fabrication de prothèse et de conformateur

☰ Chirurgie esthétique/réparatrice

- Simulation des résultats, suivi médical, diagnostique
- Pose d'implants
- Maxillo-faciale
- Greffe de visage

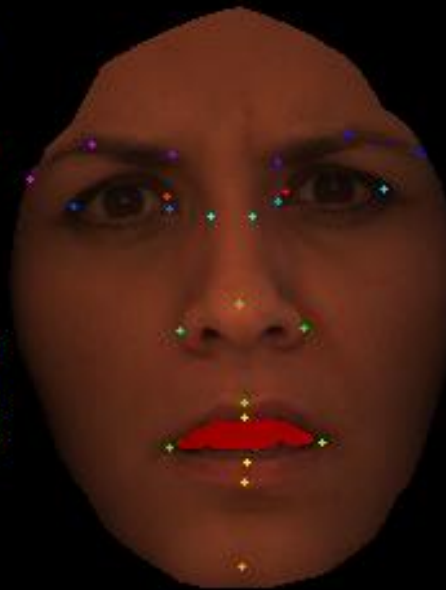


Les expressions faciales

Outer left eyebrow
Middle left eyebrow
Inner left eyebrow
Inner right eyebrow
Middle right eyebrow
Outer right eyebrow
Outer left eye corner
Inner left eye corner
Inner right eye corner
Outer right eye corner
Nose saddle left
Nose saddle right
Left nose peak
Nose tip
Right nose peak
Left mouth corner
Upper lip outer middle
Right mouth corner
Upper lip inner middle
Lower lip inner middle
Lower lip outer middle
Chin middle
NoseTip
LeftEyeRightCorner
RightEyeLeftCorner



Outer left eyebrow
Middle left eyebrow
Inner left eyebrow
Inner right eyebrow
Middle right eyebrow
Outer right eyebrow
Outer left eye corner
Inner left eye corner
Inner right eye corner
Outer right eye corner
Nose saddle left
Nose saddle right
Left nose peak
Nose tip
Right nose peak
Left mouth corner
Upper lip outer middle
Right mouth corner
Upper lip inner middle
Lower lip inner middle
Lower lip outer middle
Chin middle
NoseTip
LeftEyeRightCorner
RightEyeLeftCorner



Synthèse d'images



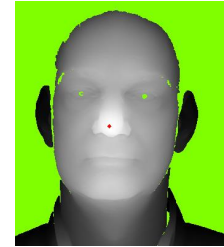
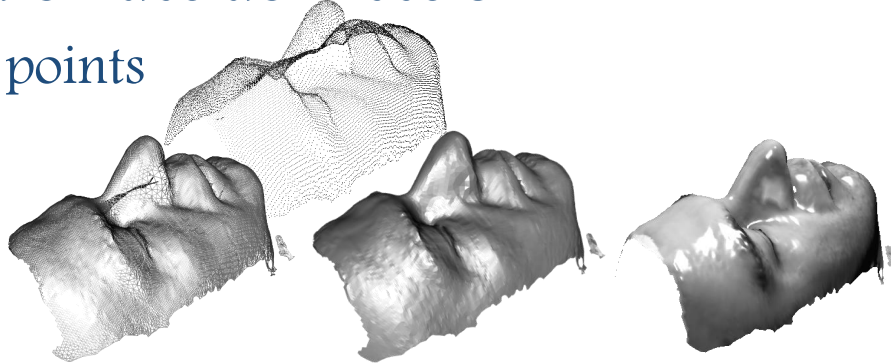
Représentation et transformations géométriques

☰ Représentation des données 3D

- Nuage de points

- Maillage

- Image de profondeur (de disparité ou 2.5 D)



☰ Transformations sur ces données

- Translation, rotation, changement d'échelle...
- Projections :
 - Perspective, parallèle...
- Notation unifiée ?

Transformations 2 dimensions

☰ On commence en 2D

- Plus facile à représenter

☰ Chaque point est transformé :

- $x' = f(x,y)$

- $y' = g(x,y)$

☰ Comment représenter la transformation ?



Translation

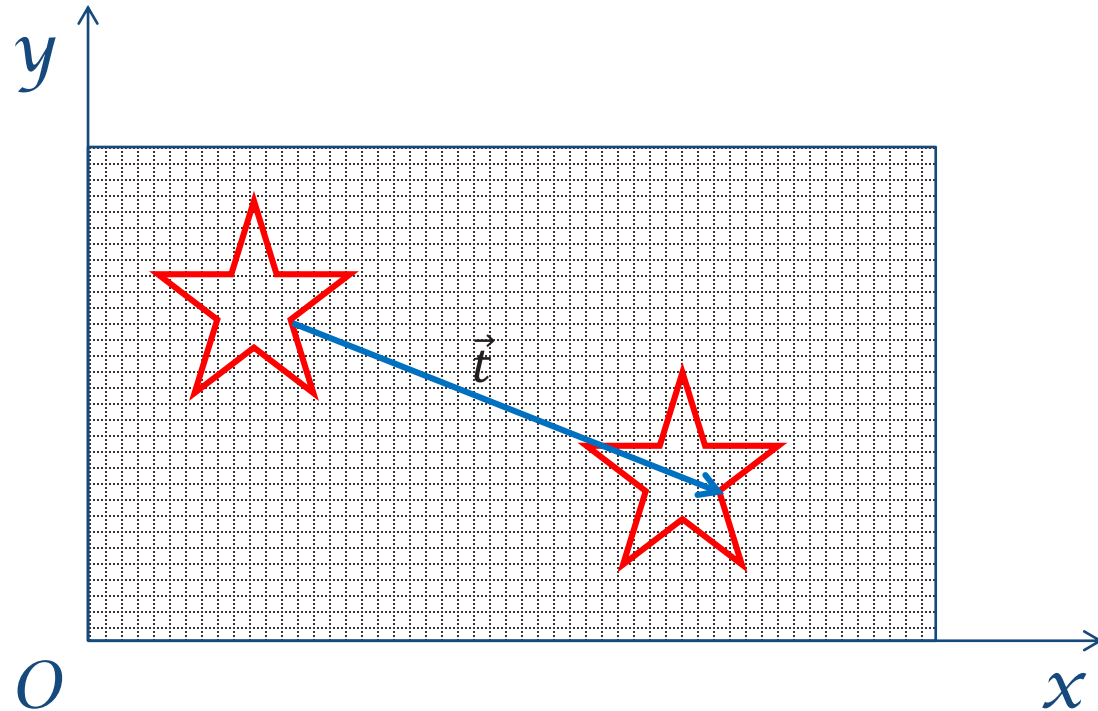
$$\begin{aligned}x' &= x + t_x \\y' &= y + t_y\end{aligned}$$

$$p = {}^t[x, y]$$

$$t = {}^t[u, v]$$

$$p' = {}^t[x', y']$$

$$p' = p + t$$



Addition par le vecteur de translation

Changement d'échelle

$$x' = s_x x$$

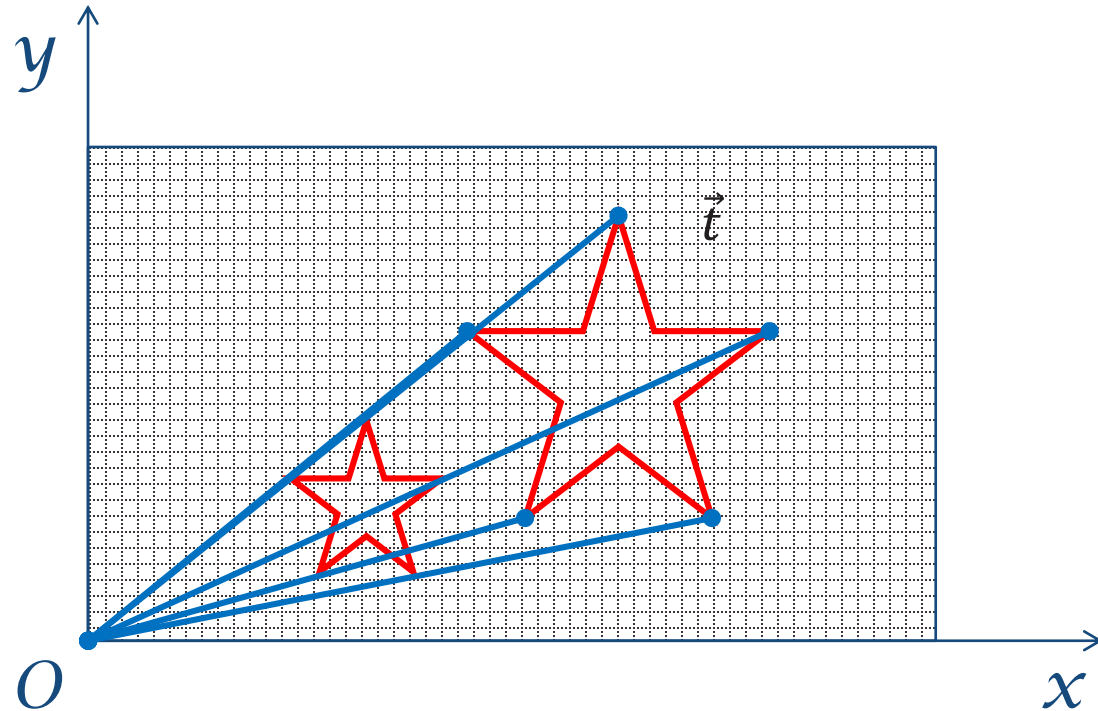
$$y' = s_y y$$

$$p = {}^t[x, y]$$

$$S = \begin{bmatrix} s_x & 0 \\ 0 & s_y \end{bmatrix}$$

$$p' = {}^t[x', y']$$

$$p' = S p$$



Multiplication par le facteur de changement d'échelle

Rotation

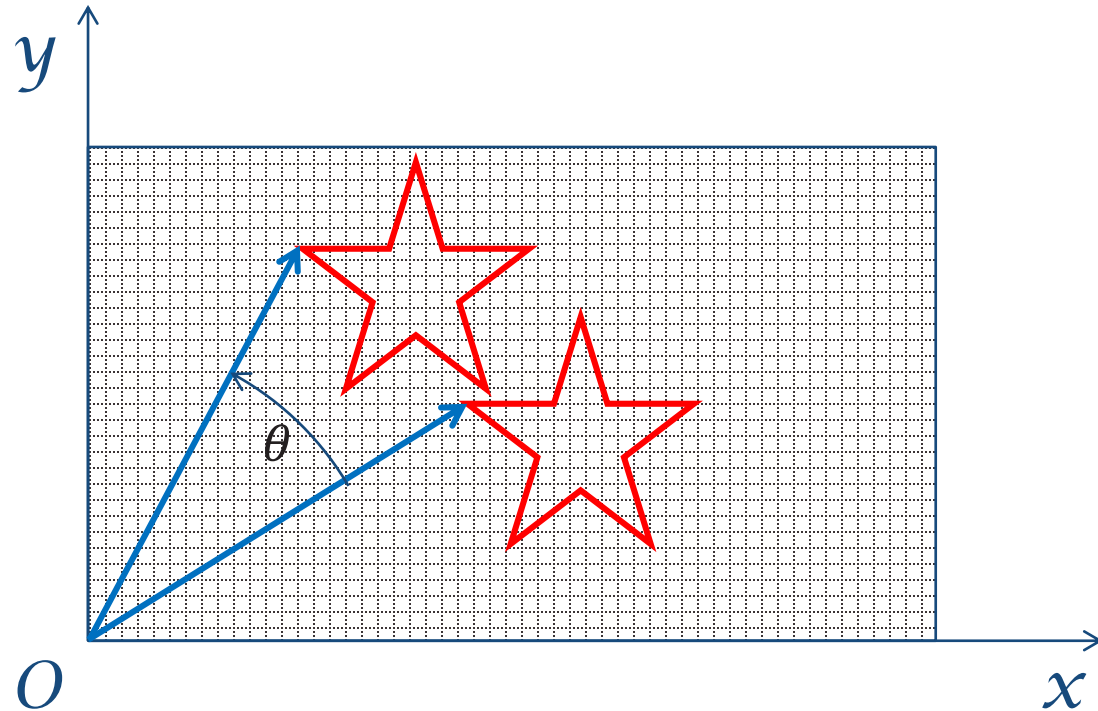
$$\begin{aligned}x' &= \cos \theta x - \sin \theta y \\y' &= \sin \theta x + \cos \theta y\end{aligned}$$

$$p = {}^t[x, y]$$

$$R = \begin{bmatrix} \cos \theta & -\sin \theta \\ \sin \theta & \cos \theta \end{bmatrix}$$

$$p' = {}^t[x', y']$$

$$p' = R p$$



Multiplication par la matrice de rotation

Coordonnées homogènes

☰ Outil géométrique puissant :

- Utilisé vision par ordinateur, synthèse d'image, géométrie projective

☰ Plan projectif

- Ajout d'une troisième coordonnée, w

☰ Un point 2D devient un vecteur à 3 coordonnées

$$p = {}^t[x, y, w]$$

☰ Egalité entre deux points p et p'

$$p' \frac{1}{w'} = p \frac{1}{w}$$

$${}^t\left[\frac{x'}{w'}, \frac{y'}{w'}, 1\right] = {}^t\left[\frac{x}{w}, \frac{y}{w}, 1\right]$$

☰ $w = 0$: points « à l'infini »

- Très utile pour les projections, et pour certaines splines

En 3 dimensions

- Un point 3D devient un vecteur à 4 coordonnées

$$P = {}^t[X, Y, Z, W]$$

- Egalité entre deux points P et P'

$$P' \frac{1}{W'} = P \frac{1}{W}$$

$${}^t\left[\frac{X'}{W'}, \frac{Y'}{W'}, \frac{Z'}{W'}, 1\right] = {}^t\left[\frac{X}{W}, \frac{Y}{W}, \frac{Z}{W}, 1\right]$$

$$\begin{bmatrix} x \\ y \\ z \\ w \end{bmatrix}$$

- $w = 0$: points « à l'infini »

- Toutes les transformations sont exprimées sous forme de matrices 4x4

Translation en c. homogènes

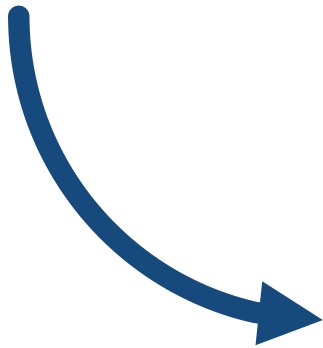
$$\begin{bmatrix} x' \\ y' \\ w' \end{bmatrix} = \begin{bmatrix} 1 & 0 & t_x \\ 0 & 1 & t_y \\ 0 & 0 & 1 \end{bmatrix} \begin{bmatrix} x \\ y \\ w \end{bmatrix}$$

$$\begin{cases} \frac{x'}{w'} = \frac{x}{w} + t_x \\ \frac{y'}{w'} = \frac{y}{w} + t_y \end{cases}$$

$$\begin{cases} x' = x + wt_x \\ y' = y + wt_y \\ w' = w \end{cases}$$

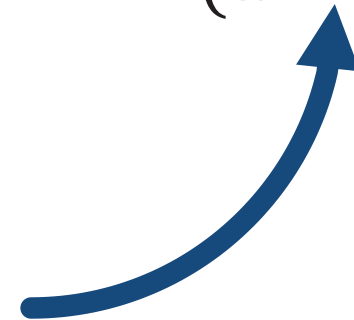
Changement d'échelle

$$\begin{bmatrix} x' \\ y' \\ w' \end{bmatrix} = \begin{bmatrix} s_x & 0 & 0 \\ 0 & s_y & 0 \\ 0 & 0 & 1 \end{bmatrix} \begin{bmatrix} x \\ y \\ w \end{bmatrix}$$



$$\begin{cases} x' = s_x x \\ y' = s_y y \\ w' = w \end{cases}$$

$$\begin{cases} \frac{x'}{w'} = s_x \frac{x}{w} \\ \frac{y'}{w'} = s_y \frac{y}{w} \end{cases}$$



Rotation

$$\begin{bmatrix} x' \\ y' \\ w' \end{bmatrix} = \begin{bmatrix} \cos \theta & -\sin \theta & 0 \\ \sin \theta & \cos \theta & 0 \\ 0 & 0 & 1 \end{bmatrix} \begin{bmatrix} x \\ y \\ w \end{bmatrix}$$

$$\begin{cases} \frac{x'}{w'} = \cos \theta \frac{x}{w} - \sin \theta \frac{y}{w} \\ \frac{y'}{w'} = \sin \theta \frac{x}{w} + \cos \theta \frac{y}{w} \end{cases}$$

$$\begin{cases} x' = \cos \theta x - \sin \theta y \\ y' = \sin \theta x + \cos \theta y \\ w' = w \end{cases}$$

Composition des transformations

☰ Par multiplication matricielle

- Une rotation suivie d'une translation :

$$M = R T$$

☰ Rotation autour d'un point Q

- Translater Q à l'origine (TQ),
- Rotation autour de l'origine (RQ)
- Translater en retour vers Q ($-TQ$)

$$p' = (-T_Q) R_\theta T_Q p$$



Translation en 3D

$$T(t_x, t_y, t_z) = \begin{bmatrix} 1 & 0 & 0 & t_x \\ 0 & 1 & 0 & t_y \\ 0 & 0 & 1 & t_z \\ 0 & 0 & 0 & 1 \end{bmatrix}$$



$$\begin{cases} x' = x + w t_x \\ y' = y + w t_y \\ z' = z + w t_z \\ w' = w \end{cases}$$



Changement d'échelle en 3D

$$S(s_x, s_y, s_z) = \begin{bmatrix} s_x & 0 & 0 & 0 \\ 0 & s_y & 0 & 0 \\ 0 & 0 & s_z & 0 \\ 0 & 0 & 0 & 1 \end{bmatrix}$$



$$\begin{cases} x' = x + w t_x \\ y' = y + w t_y \\ z' = z + w t_z \\ w' = w \end{cases}$$



Rotation en 3D

- ☰ Définie par un axe et un angle
- ☰ La matrice dépend de l'axe et de l'angle
- ☰ Expression directe possible, en partant de l'axe et de l'angle, et quelques produits vectoriels
 - Passage par les quaternions
- ☰ Fait par la librairie graphique :
 - `glRotatef(angle, x, y, z)`



Quaternion

☰ Soit la matrice de rotation R . Il existe quatre nombres $\{q_1, q_2, q_3, q_4\}$ tels que $q_0^2 + q_1^2 + q_2^2 + q_3^2 = 1$, et

$$R = \begin{pmatrix} q_0^2 + q_1^2 - q_2^2 - q_3^2 & 2(q_1 q_2 - q_0 q_3) & 2(q_1 q_3 - q_0 q_2) \\ 2(q_2 q_1 + q_0 q_3) & q_0^2 - q_1^2 + q_2^2 - q_3^2 & 2(q_2 q_3 + q_0 q_1) \\ 2(q_3 q_1 - q_0 q_2) & 2(q_3 q_2 + q_0 q_1) & q_0^2 - q_1^2 - q_2^2 + q_3^2 \end{pmatrix}$$

Quaternion

La représentation quaternion $\{q_1, q_2, q_3, q_4\}$ d'une rotation autour d'un axe l et d'un angle Ω , $0 \leq \Omega \leq \pi$, est donnée par

$$q_0 = \varepsilon \cos \frac{\Omega}{2}, \quad \begin{pmatrix} q_1 \\ q_2 \\ q_3 \end{pmatrix} = \varepsilon l \sin \frac{\Omega}{2}, \quad \varepsilon = \pm 1$$

$$\Omega = 2 \cos^{-1} q_0,$$

$$l = \frac{\begin{pmatrix} q_1 \\ q_2 \\ q_3 \end{pmatrix}}{\left\| \begin{pmatrix} q_1 \\ q_2 \\ q_3 \end{pmatrix} \right\|},$$

$$\text{si } q_0 \geq 0,$$

$$\Omega = 2(\pi - \cos^{-1} q_0),$$

$$l = - \frac{\begin{pmatrix} q_1 \\ q_2 \\ q_3 \end{pmatrix}}{\left\| \begin{pmatrix} q_1 \\ q_2 \\ q_3 \end{pmatrix} \right\|},$$

$$\text{si } q_0 < 0.$$



Prérequis

- Soit la matrice de corrélation K . Soit K' la matrice symétrique de dimension quatre, définie à partir de K de la manière suivante

$$K' = \begin{pmatrix} K_{11} + K_{22} + K_{33} & K_{32} - K_{23} & K_{13} - K_{31} & K_{21} - K_{12} \\ K_{32} - K_{23} & K_{11} - K_{22} - K_{33} & K_{12} + K_{21} & K_{31} + K_{13} \\ K_{13} - K_{31} & K_{12} + K_{21} & -K_{11} + K_{22} - K_{33} & K_{23} + K_{32} \\ K_{21} - K_{12} & K_{31} + K_{13} & K_{23} + K_{32} & -K_{11} - K_{22} + K_{33} \end{pmatrix}$$

- Soit q' le vecteur propre unité de dimension quatre de la matrice K' , associé à la plus grande valeur propre
- Alors, $trace({}^t R K)$ est maximisée par la matrice de rotation R définie par q'
- La solution est unique si la plus grande valeur propre est une racine simple du polynôme caractéristique

Décomposition de la matrice épipolaire

- Calculer h , le vecteur propre unité de la matrice ${}^t M M$ pour la plus petite valeur propre
- Poser $K = -h \times M$, et par la méthode de représentation quaternion calculer la matrice de rotation R qui maximise :

$$\text{trace}({}^t R K)$$

- Retourner les paramètres du mouvement (l, Ω, h)
- Calcul du résidu de l'équation épipolaire

Toutes les transformations 3D

☰ Toute transformation 3D s'exprime comme combinaison de translations, rotations, changement d'échelle

- Et donc comme une matrice en coordonnées homogènes

☰ Fournies par la librairie graphique :

- `glTranslatef(x, y, z);`
- `glRotatef(angle, x, y, z);`
- `glScalef(x, y, z);`



Transformations 3D (suite)

☰ On peut faire ses transformations soi-même :

- `glLoadIdentity();`
 - Remplace la matrice de transformation courante par la matrice identité
- `glLoadMatrixf(pm);`
 - Remplace la matrice de transformation courante par la matrice `pm` exprimée en floats
- `glMultMatrixf(pm);`
 - Multiplie la matrice de transformation courante par la matrice `pm` exprimée en floats

☰ Pile de transformations :

- `glPushMatrix();`
 - Pousse la matrice courante dans le stack et la duplique. Après l'appel à cette fonction la matrice au dessus du stack est dupliquée.
- `glPopMatrix();`
 - Déplie la matrice courante.

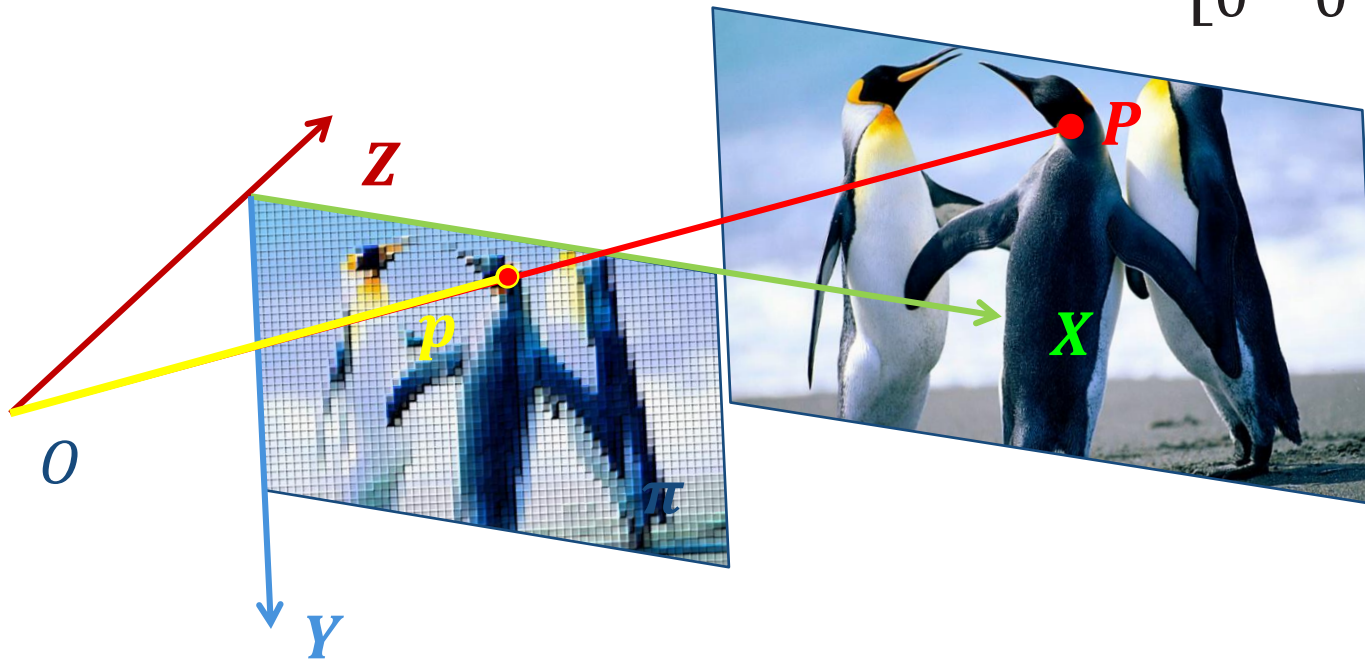
Exemple

```
drawHighLevelObject(parameters) {  
    glPushMatrix()  
    glRotate(...)  
    glTranslate(...)  
    glScale(...)  
    drawSimpleShape()  
    glPopMatrix()  
}  
drawModel() {  
    glPushMatrix()  
    drawHighLevelObject1(...)  
    glTranslate(...)  
    drawHighLevelObject2(...)  
    [etc...]  
    glPopMatrix()  
}
```

Supplément : projection perspective

- Projection sur le plan $z = 0$, avec le centre de projection placé à $z = -d$

$$\begin{bmatrix} 1 & 0 & 0 & 0 \\ 0 & 1 & 0 & 0 \\ 0 & 0 & 1 & 0 \\ 0 & 0 & \frac{1}{d} & 1 \end{bmatrix}$$



Supplément : perspective (suite)

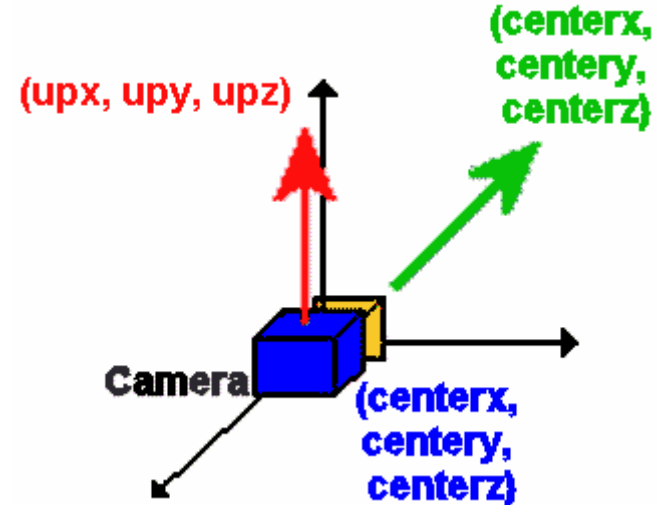
- Projection perspective s'appuie sur coordonnées homogènes
- La rétrécissement des objets utilise w

$$W' = \frac{Z}{d} + W$$
$$\frac{X'}{W'} = \frac{X}{\frac{Z}{d} + W}$$
$$\frac{Y'}{W'} = \frac{Y}{\frac{Z}{d} + W}$$

Perspective en pratique

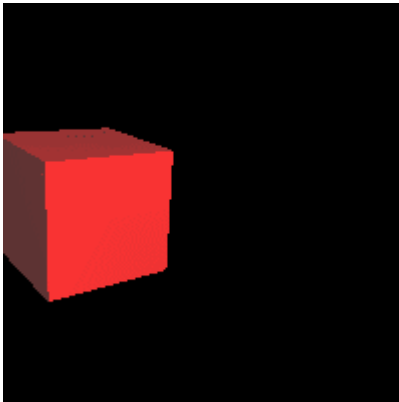
```
void gluLookAt(GLdouble eyex, GLdouble eyey, GLdouble eyez,  
GLdouble centerx, GLdouble centery, GLdouble centerz,  
GLdouble upx, GLdouble upy, GLdouble upz);
```

- Définit la position et l'orientation de la caméra.
- (eyex, eyey, eyez) spécifient la position de la caméra,
- (centerx, centery, centerz) spécifient la position vers laquelle la caméra pointe (aussi appelé la ligne de mire)
- (upx, upy, upz) spécifient un vecteur qui nous informe de la direction du haut de la caméra
- Cette commande est contenue dans la GLU (OpenGL Utility Library).
- Inclure le header (fichier d'en-tête) suivant : glu.h

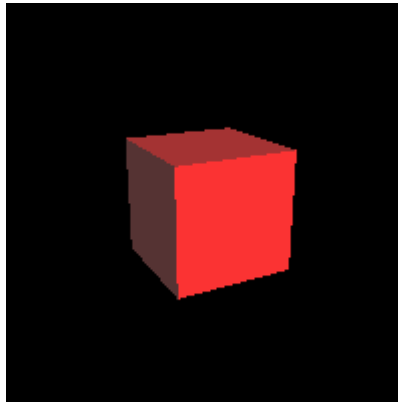


Perspective : en pratique

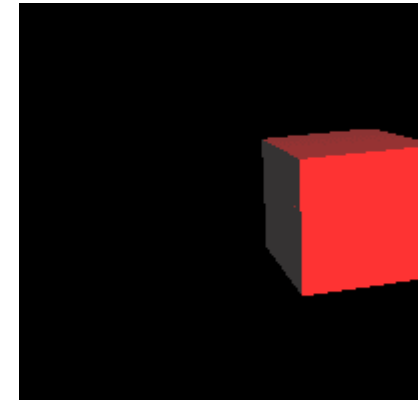
```
...  
glLoadIdentity(); // Restaure la matrice de modélisation-visualisation  
gluLookAt(0.0, 0.0, 4.0, 0.0, 0.0, 0.0, 0.0, 1.0, 0.0); // Positionne et  
    oriente la caméra Dessin d'un cube  
...
```



gluLookAt(0, 0, 4, 1, 0, 0, 0, 1, 0)



gluLookAt(0, 0, 4, 0, 0, 0, 0, 1, 0)



gluLookAt(0, 0, 4, -1, 0, 0, 0, 1, 0)



Perspective : en pratique

```
void gluPerspective(GLdouble fovy, GLdouble aspect,  
                  GLdouble zNear, GLdouble zFar);
```

Assure la projection en perspective.

fovy spécifie l'angle du champs de vision, en degrés, dans la direction de y,

aspect spécifie l'aspect ratio qui détermine le champs de vision dans la direction de x. aspect ratio est le rapport de x (largeur) sur y (hauteur) ,

zNear spécifie la distance de l'observateur au plus proche plan (toujours positif),

zFar spécifie la distance de l'observateur au plus loin plan (toujours positif),

Inclure le header (fichier d'en-tête) suivant : glu.h.

$$f = \cot \operatorname{angent} \left(\frac{\text{fovy}}{2} \right)$$
$$\begin{pmatrix} \frac{f}{\text{aspect}} & 0 & 0 & 0 \\ 0 & f & 0 & 0 \\ 0 & 0 & \frac{zFar + zNear}{zFar - zNear} & \frac{2 \times zFar \times zNear}{zFar - zNear} \\ 0 & 0 & -1 & 0 \end{pmatrix}$$

Géométrie épipolaire

Laboratoire d'InfoRmatique en Image et Systèmes d'information

LIRIS UMR 5205 CNRS/INSA de Lyon/Université Claude Bernard Lyon 1/Université Lumière Lyon 2/Ecole Centrale de Lyon
Université Claude Bernard Lyon 1, 36 avenue Guy de Collongue - 69134 Ecully Cedex
<http://liris.cnrs.fr>



Questions

- (i) **Géométrie d'appariement** : Soit un point p dans une première image, comment il contraint la position de son correspondant p' dans une seconde image ?
- (ii) **Géométrie de caméra (mouvement)** : Etant donné un ensemble de points appariés $\{p_i \leftrightarrow p_i'\}$, $i = 1, \dots, n$, quelle est la relation entre les deux caméras et la transformation géométrique entre les deux images ?
- (iii) **Géométrie de la scène (structure)** : Etant donné un ensemble de points appariés $\{p_i \leftrightarrow p_i'\}$, $i = 1, \dots, n$, et caméras C_1 et C_2 , quelles sont les positions des points P_i dans l'espace ?



Transformations Monde/image

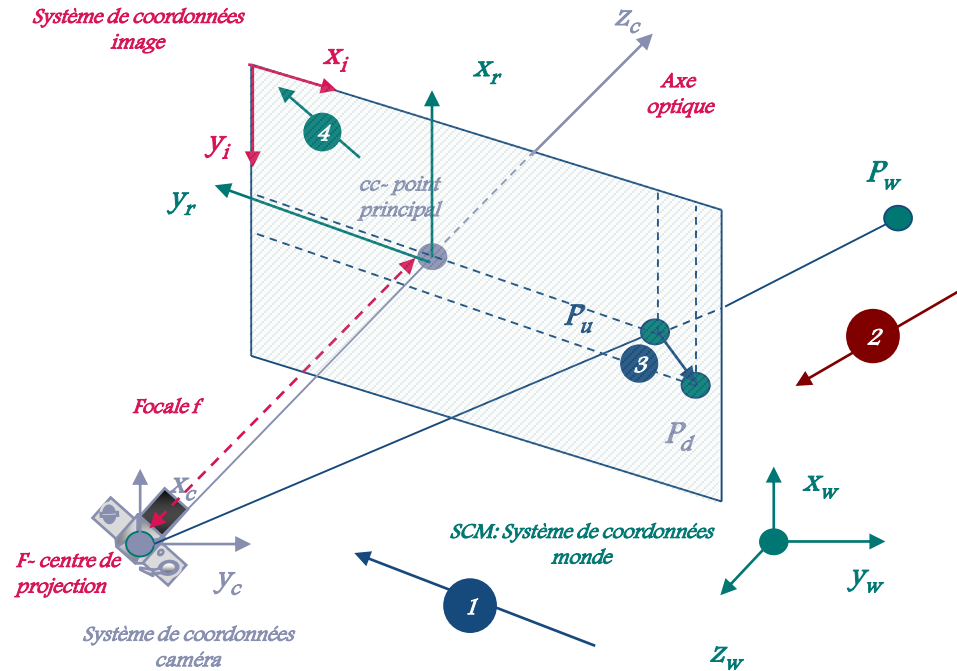
Une caméra est modélisée par plusieurs paramètres, matrice de projection M :

- La Translation T du centre optique (de projection F) par rapport à l'origine de SCM
- La Rotation R du plan image
- Focale f , Point principal (x'_c, y'_c) , taille d'un pixel (s_x, s_y)
- Les paramètres "extrinsèques," et "intrinsèque"

$$X = \begin{bmatrix} sx \\ sy \\ s \end{bmatrix} = \begin{bmatrix} * & * & * & * \\ * & * & * & * \\ * & * & * & * \end{bmatrix} \begin{bmatrix} X \\ Y \\ Z \\ 1 \end{bmatrix} = MX$$

$$M = \begin{bmatrix} -fs_x & 0 & x'_c \\ 0 & -fs_y & y'_c \\ 0 & 0 & 1 \end{bmatrix} \begin{bmatrix} 1 & 0 & 0 & 0 \\ 0 & 1 & 0 & 0 \\ 0 & 0 & 1 & 0 \end{bmatrix} \begin{bmatrix} R_{3 \times 3} & 0_{3 \times 1} \\ 0_{1 \times 3} & 1 \end{bmatrix} \begin{bmatrix} I_{3 \times 3} & T_{3 \times 1} \\ 0_{1 \times 3} & 1 \end{bmatrix}$$

intrinsics
projection
rotation
translation



Le modèle projectif et la stéréovision

$$\begin{matrix}
 \text{M} \\
 \left[\begin{array}{ccc|ccc}
 -fs_x & 0 & x'_c & 1 & 0 & 0 & 0 \\
 0 & -fs_y & y'_c & 0 & 1 & 0 & 0 \\
 0 & 0 & 1 & 0 & 0 & 1 & 0
 \end{array} \right]
 \end{matrix}
 \begin{matrix}
 \text{E} \\
 \left[\begin{array}{cc|cc}
 R_{3 \times 3} & 0_{3 \times 1} & I_{3 \times 3} & T_{3 \times 1} \\
 0_{1 \times 3} & 1 & 0_{1 \times 3} & 1
 \end{array} \right]
 \end{matrix}
 = {}^t M' E$$

Intrinsics X Projection

Extrinsic

Les matrices fondamentales et essentielles : F, E

$$F = {}^t M' E M$$

Centre de projection O et O'

Le point P de la scène

Les plans de projection : deux images π et π'

Les points p et p' obtenus par les transformations projectives

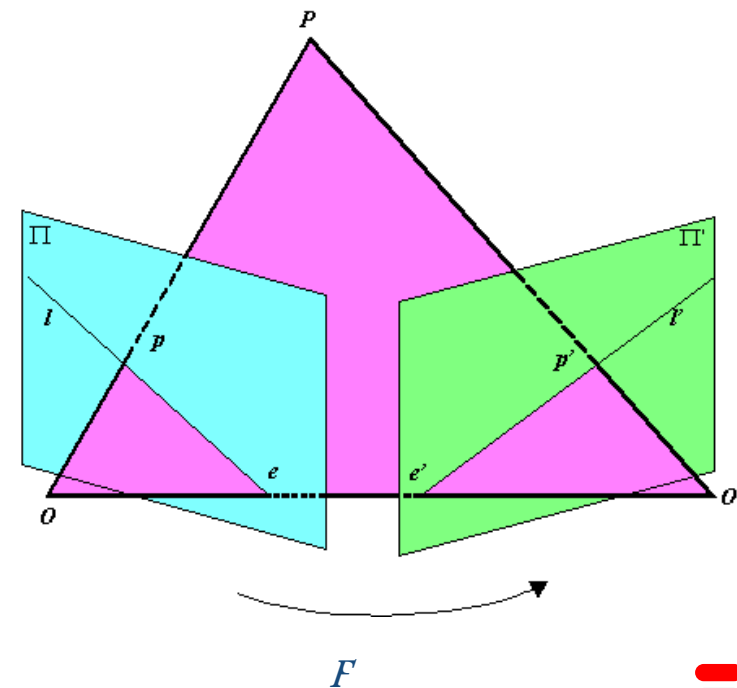
$${}^t p' F p = 0, {}^t p' {}^t M' E M p = 0$$

E contient le vecteur de translation h et la matrice de rotation R

$${}^t p' F = \vec{p}$$

Connaissance de E, M et $M' \rightarrow$ Etalonnage fort

Connaissance $F \rightarrow$ Etalonnage faible



Géométrie épipolaire

P : point 3D de l'espace

O, O' : centres optiques

Π, Π' : plans d'images

p, p' : projetés de P

e, e' : les épipoles

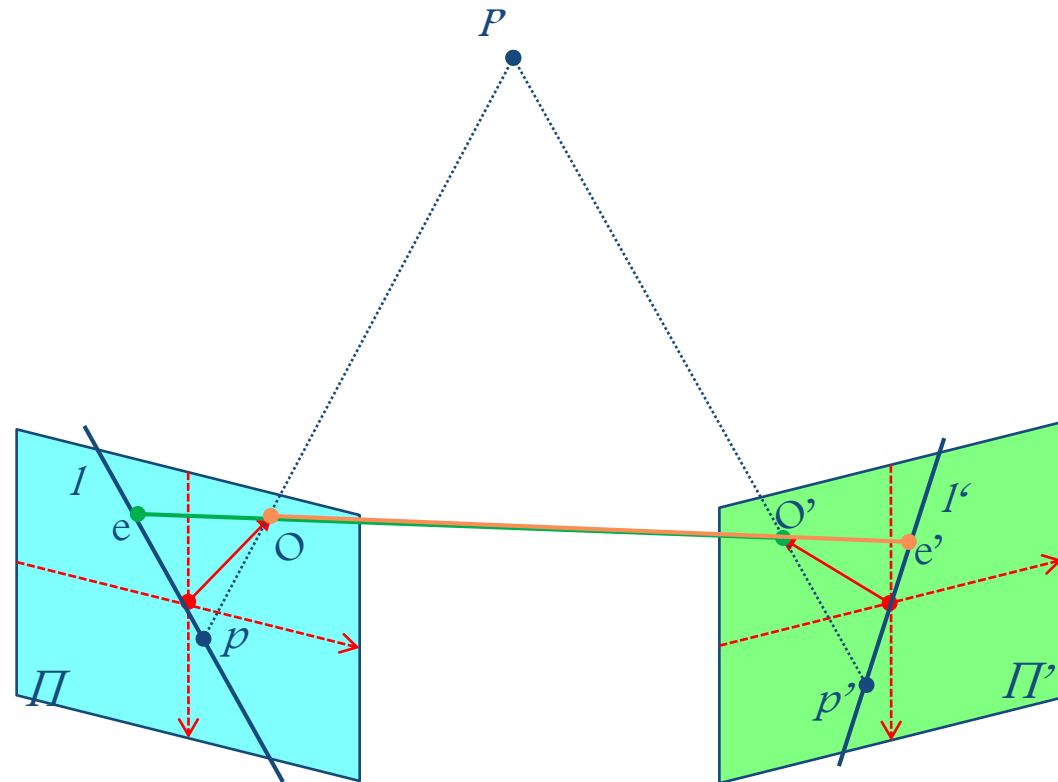
e = image de O' dans Π

e' = image de O dans Π'

l, l' : droites épipolaires

l = intersection du plan OPO' avec l'image Π

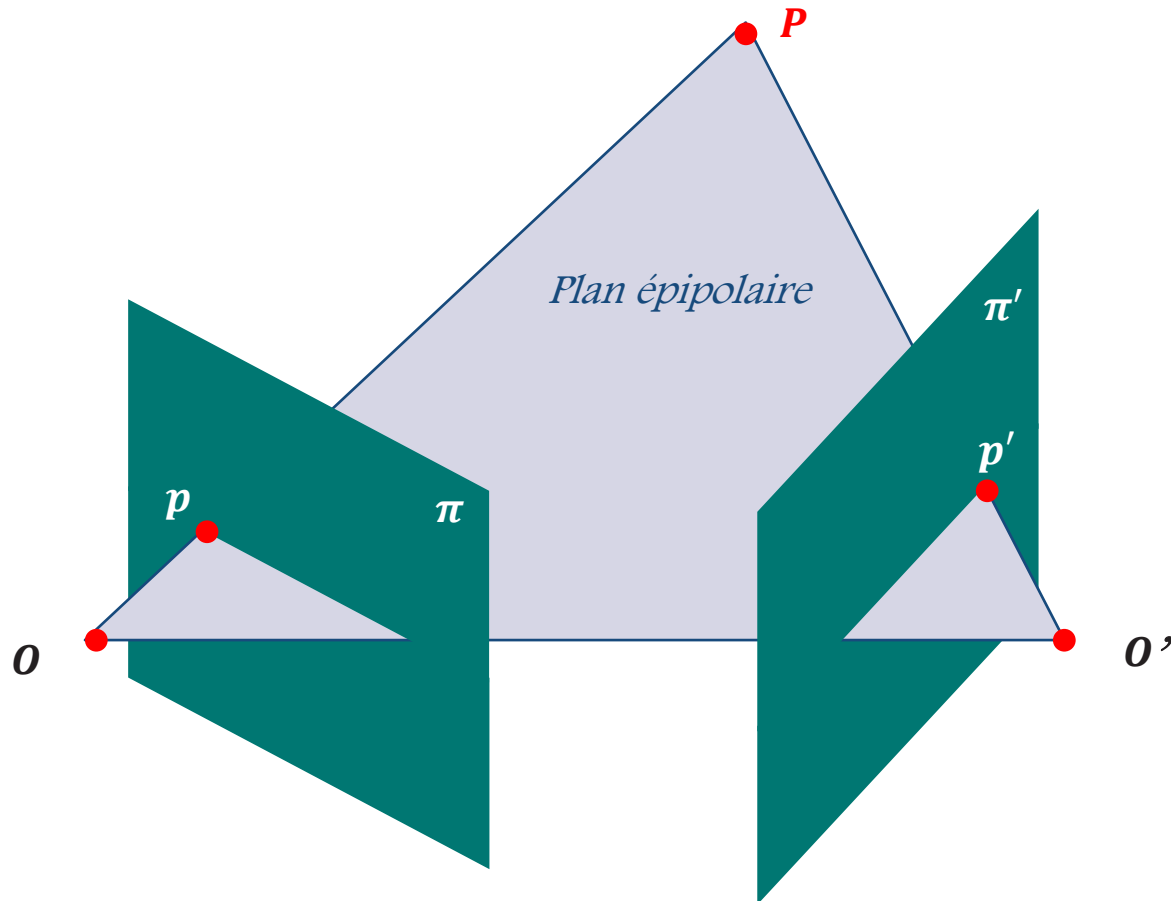
l' = intersection du plan OPO' avec l'image Π'



L'image p' d'un point p de l'image gauche est la droite l' dans l'image droite

→ nécessité d'appariement : où est troué le point p' sur la droite l'

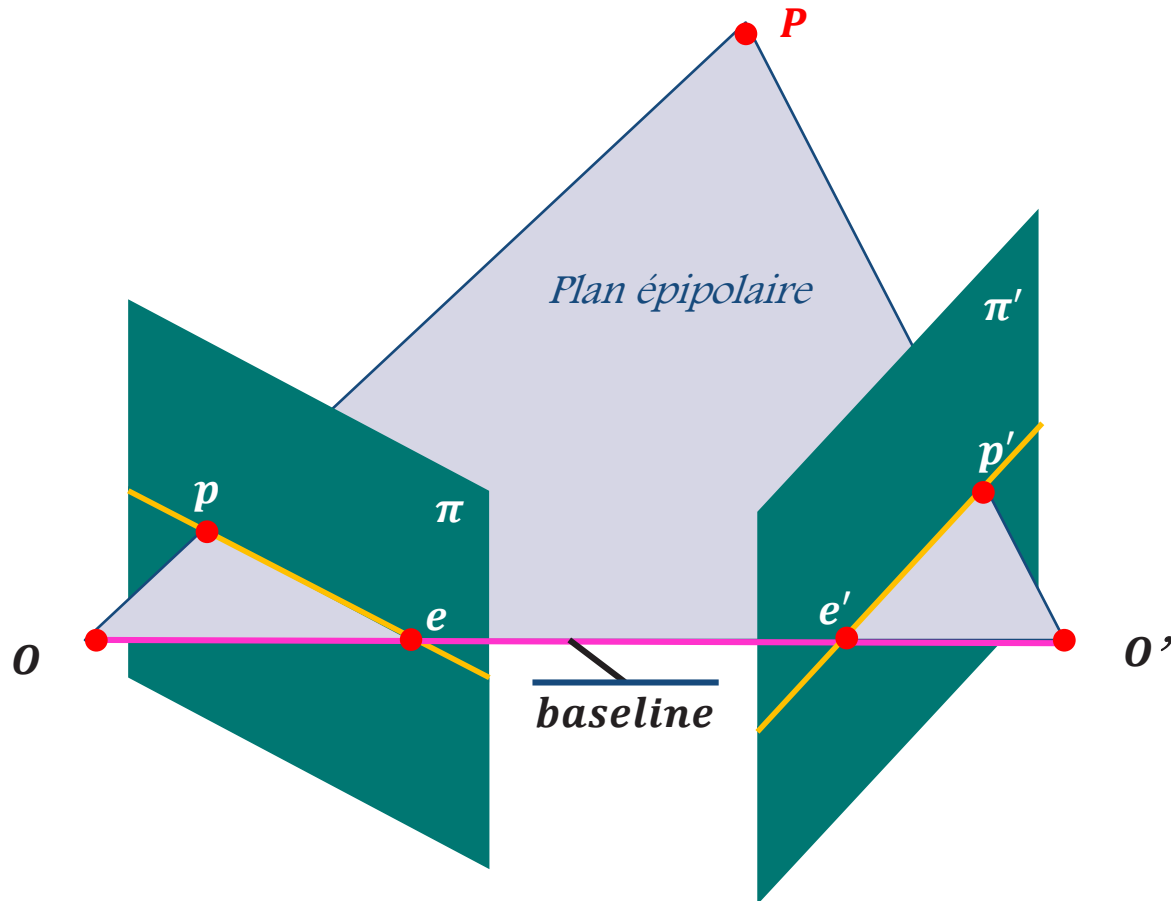
La géométrie épipolaire



Les caméras, O et O' , avec P et ses projetés p et p' sont coplanaires.

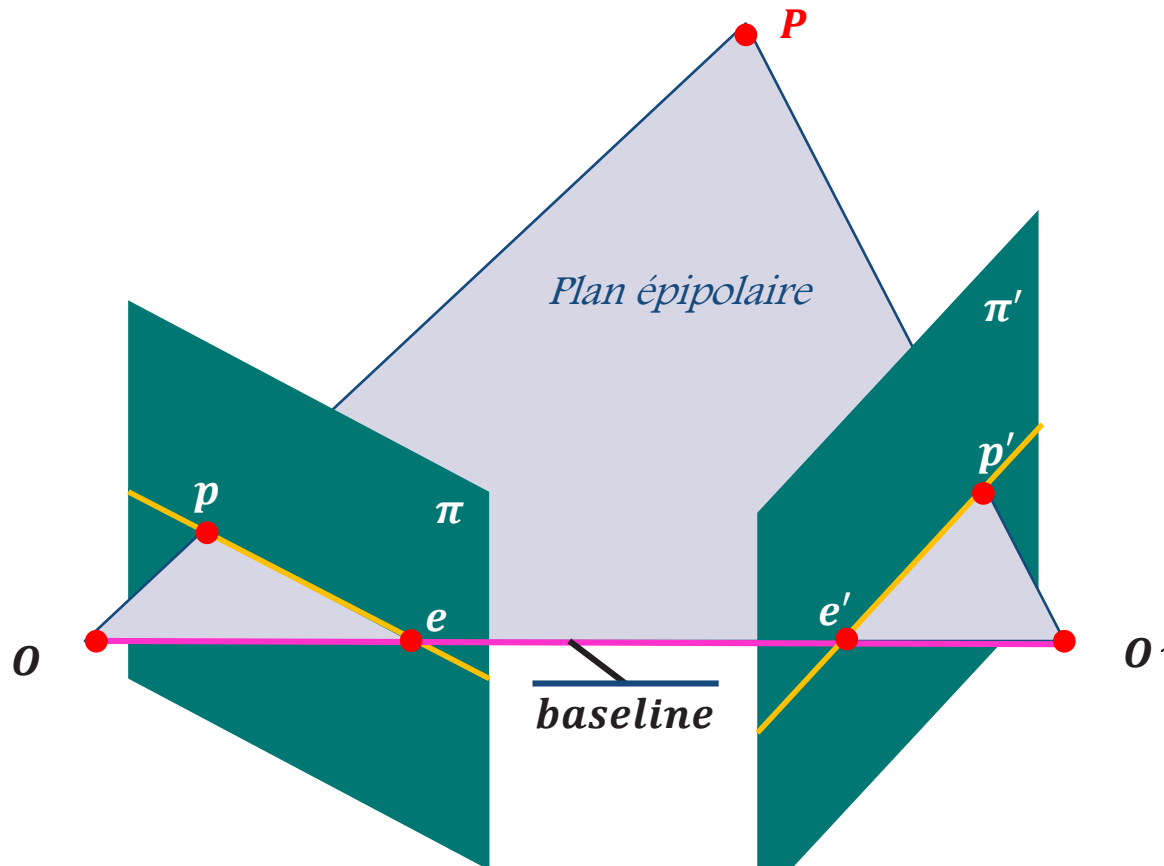


La géométrie épipolaire



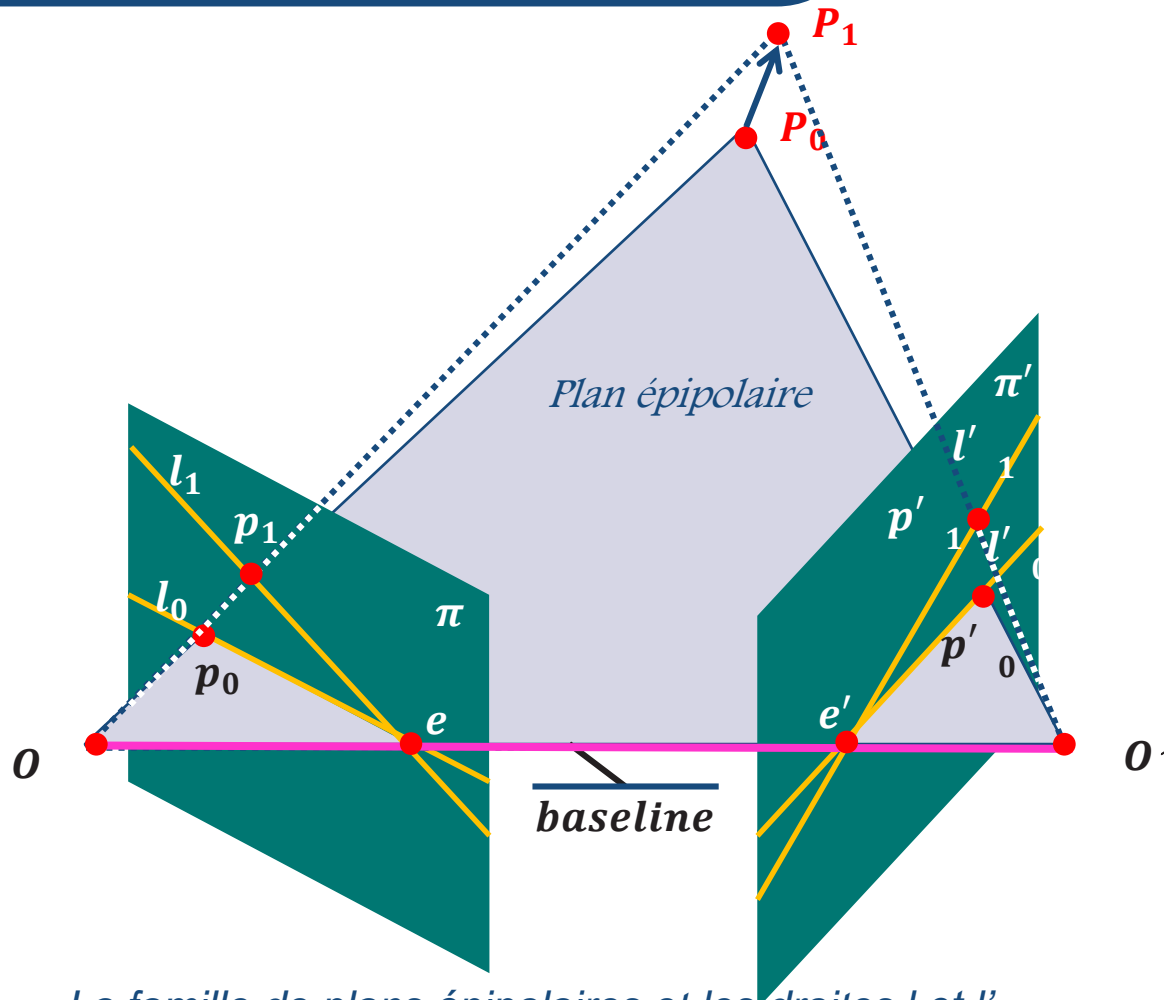
*Les caméras, O et O' , avec P et ses projetés p et p' sont coplanaires.
Tous les points du plan épipolaires sont projetés sur l et l' .*

La géométrie épipolaire



*Baseline intersecte les plans des images en épipoles e et e' .
Tous plans contenant baseline est un plan épipolaire.
Tous les points d'un plan épipolaires sont projetés sur l et l' .*

La géométrie épipolaire



La famille de plans épipolaires et les droites l et l' s'intersectent en e et e' .

La géométrie épipolaire

Epipoles e et e'

= intersection de la baseline avec les plans des images

= projection de chaque centre optique sur le plan d'image conjugué

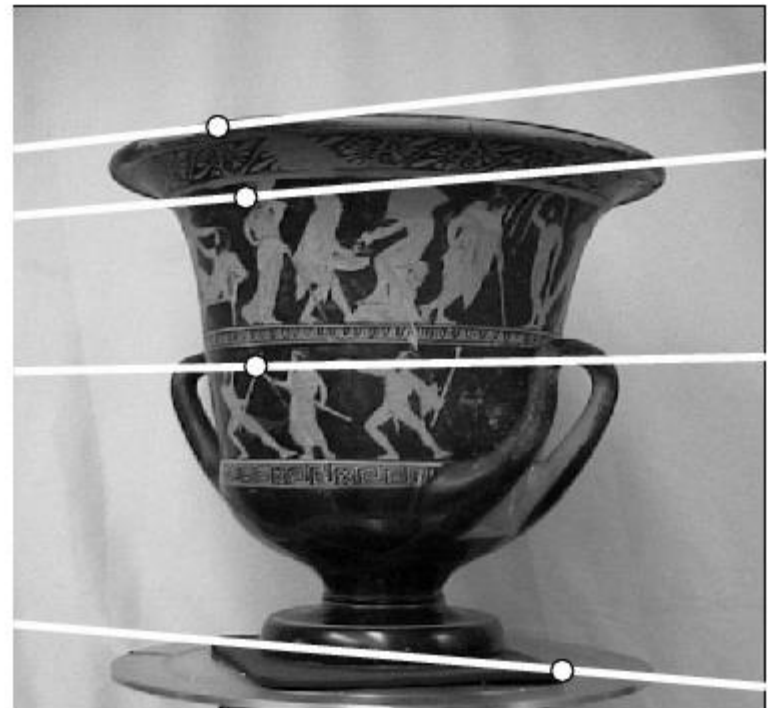
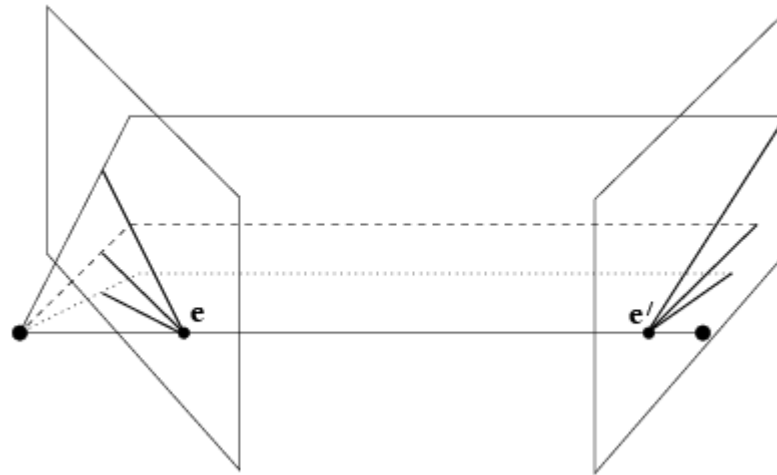
= point de fuite de la caméra dans la direction du mouvement

Un plan épipolaire = plan contenant la baseline (famille 1-D)

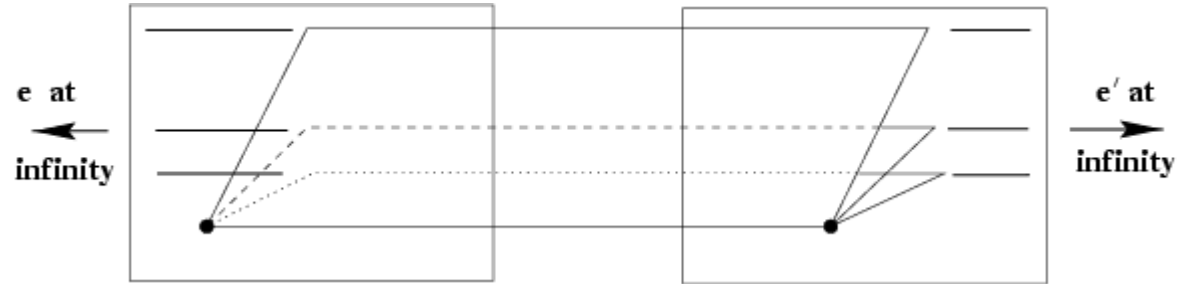
Une ligne épipolaire = intersection des plans épipolaires avec image de manière conjuguée



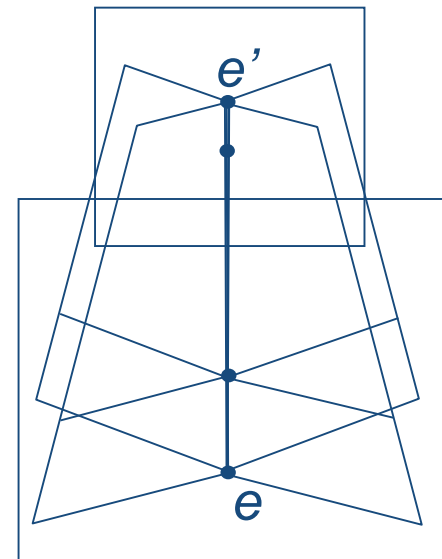
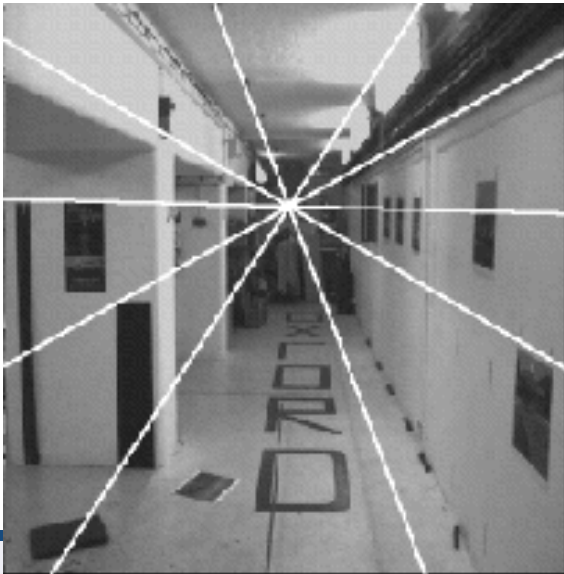
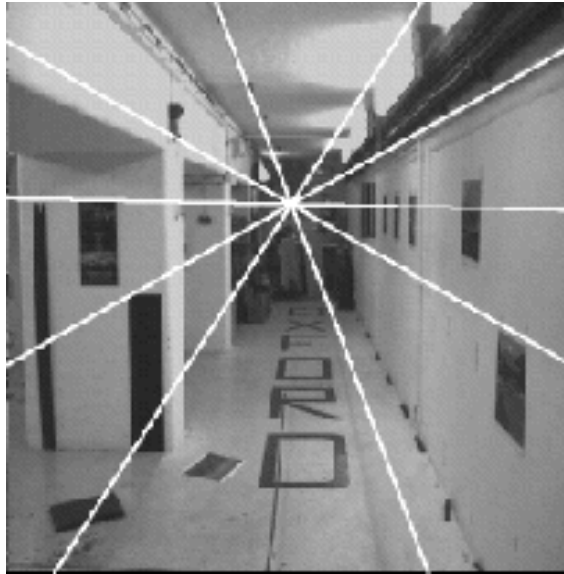
Exemple de caméras convergentes



Exemple de mouvement // à la caméra



Exemple de mouvement en profondeur



Définition de produit vectoriel

$$a \times b = \begin{bmatrix} a_2 b_3 - a_3 b_2 \\ a_3 b_1 - a_1 b_3 \\ a_1 b_2 - a_2 b_1 \end{bmatrix} = \begin{bmatrix} 0 & -a_3 & a_2 \\ a_3 & 0 & -a_1 \\ -a_2 & a_1 & 0 \end{bmatrix} b = [a_\times] b$$

$$a \cdot (a \times b) = 0$$

$$b \cdot (a \times b) = 0$$

Propriétés des matrices fondamentale et essentielle

☰ Matrice 3 x 3

☰ Transposition : si F est la matrice essentielle de la paire de caméras (C, C') , tF est la matrice essentielle de (C', C) .

☰ Lignes épipolaires : p et p' deux points dans les plans projectifs, alors Fp est une droite projective dans l'image droite.

$$l' = Fp, \quad l = {}^tFp'$$

☰ Epipoles : pour tout p la droite épipolaire $l' = Fp$ contient l'épipole e' . Donc $({}^te'F)p = 0$ pour tout p .

Donc ${}^te'F = 0$ et $Fe = 0$

Matrice fondamentale

☰ Contient les paramètres intrinseques et extrinseques

☰ F est de rang 2

☰ F a 7 degrés de liberté

☰ F a neuf éléments à une échelle près

$$\det (F) = 0$$



Matrice essentielle

- ☰ Contient uniquement les paramètres extrinseques
- ☰ E est de rang 2
- ☰ Ces deux valeurs singulières sont égales
- ☰ A 5 degrés de liberté, 3 pour la rotation et 2 pour la translation



Ambiguïté de taille

$$P' = R P + t$$

$$p = \frac{P}{t \hat{Z} P} \quad p' = \frac{R P + t}{t \hat{Z} (R P + t)}$$

*Les profondeurs Z et Z' et t sont obtenus à un facteur d'échelle près
Seulement la direction de la translation peut être calculée*

Les moindres carrés

$$\text{Min} \sum_{i=1}^n \left(p'_i - F p_i \right)^2$$

$$|F|^2 = 1$$

Un système homogène $A f=0$

La solution au sens moindres carrés est la plus petites valeur singulière de A:

La dernière colonne de V telle que $A=U D^t V$ par SVD



Estimation de la matrice fondamentale à partir de points appariés

$${}^t p'_i F p_i = 0$$

Pour $p = (x, y, 1)$ et $p' = (x', y', 1)$ nous avons

$$\begin{aligned} x' x f_{11} + x' y f_{12} + x' f_{13} + y' x f_{21} + y' y f_{22} \\ + y' f_{23} + x f_{31} + y f_{32} + f_{33} = 0 \end{aligned}$$

Pour n paires de points appariés nous avons

$$A f = \begin{bmatrix} x'_1 x_1 & x'_1 y_1 & x'_1 & y'_1 x_1 & y'_1 y_1 & y'_1 & x_1 & y_1 & 1 \\ \vdots & \vdots & \vdots & \vdots & \vdots & \vdots & \vdots & \vdots & \vdots \\ x'_n x_n & x'_n y_n & x'_n & y'_n x_n & y'_n y_n & y'_n & x_n & y_n & 1 \end{bmatrix} f = 0$$

Algorithme de 8 points : 8 points algorithm

Un système d'équations homogène $Af = 0$

f peut être déterminée à un facteur près, possède donc 8 inconnus donc son estimation nécessite 8 points appariés

8 points algorithm

La solution au sens des moindres carrés est le vecteur singulier correspondant à la plus petite valeur singulière de A

La dernière colonne de V pour la SVD $A = U D {}^tV$

La solution par approche non linéaire

$$\min \sum_{i=0}^n \left(\|p_i' F p_i\|^2 + \|p_i F p_i'\|^2 \right)$$



Localiser les épipoles

$${}^t p' F e = 0$$

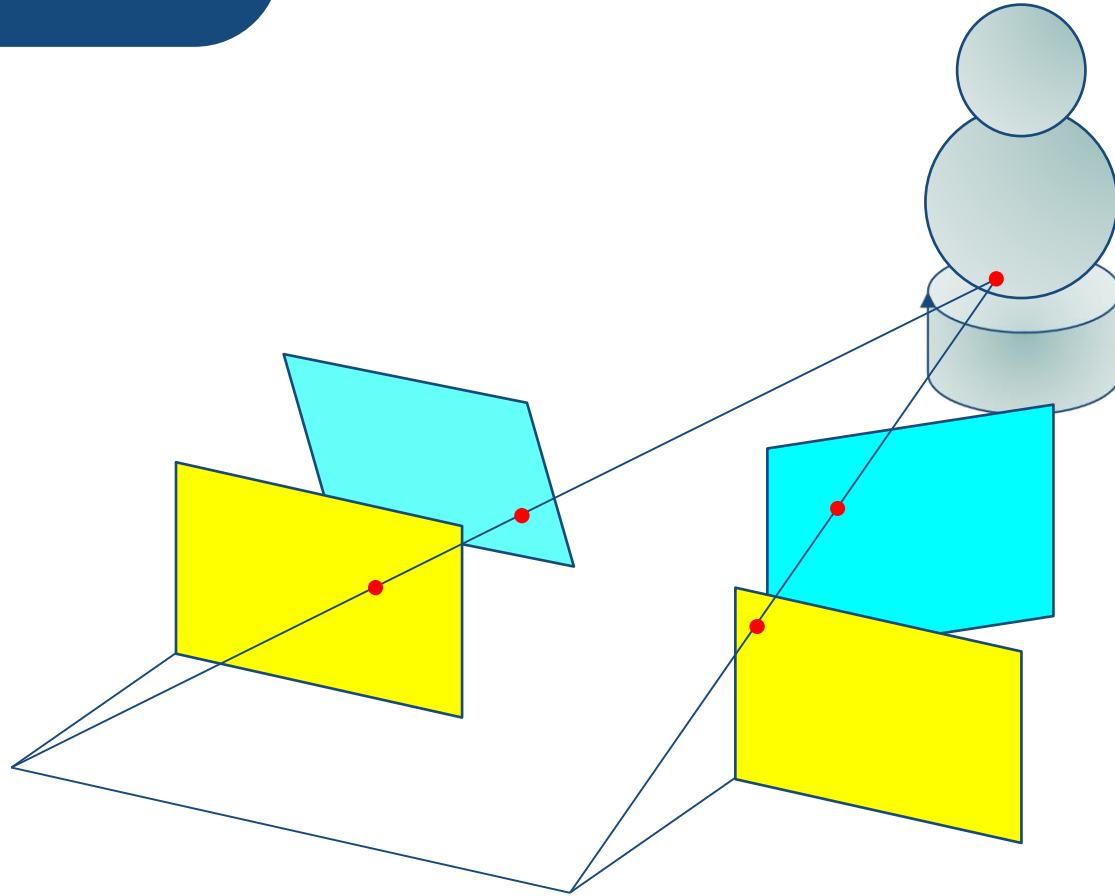
$$F e = 0$$

e est le noyau de F et e' est le noyau de ${}^t F$

$$SVD \text{ de } F = U D {}^t V$$



Réctification



Reprojection de l'image sur un plan parallèle à la droite passant par les centres optiques

Réctification

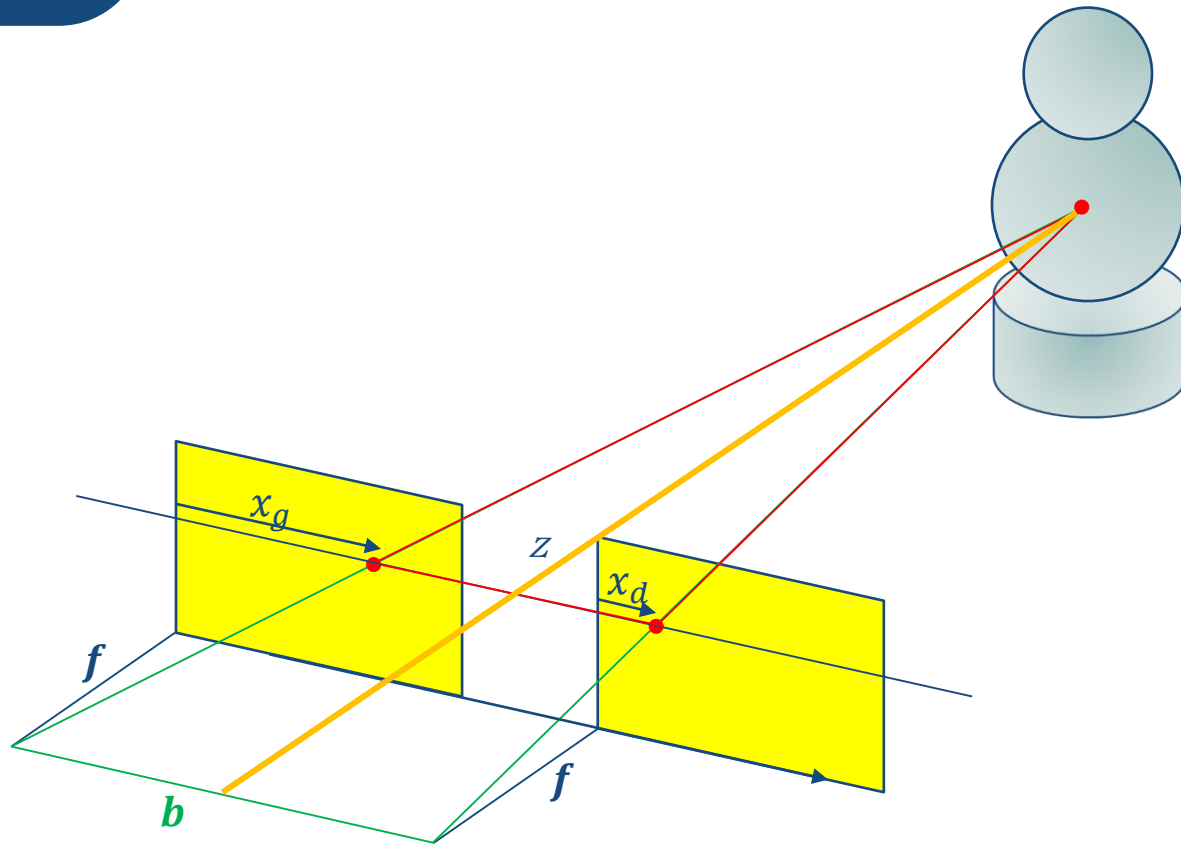
- ☰ Tourner la caméra gauche de manière à ce que l'épipole se situent à l'infini sur l'axe x
- ☰ Idem pour la caméra droite
- ☰ Annuler la rotation
- ☰ Ajuster l'échelle



Reconstruction 3D

- ☰ Stéréo : connaissant la géométrie entre les caméras (paramètres extrinseques) et la géométrie des caméras (paramètres intrinseques), appariés des points des images gauches et droites et reconstruire un modèle 3D
- ☰ Structure from motion (cameras étalonnées) : trouver les appariements, puis trouver les paramètres extrinseques, puis reconstruire
- ☰ Caméras non-étalonnées : trouver les appariements, trouver la matrice de projection (à un facteur près), puis reconstruire à facteur près

Disparité



$$\frac{b}{Z} = \frac{(b + x_d) - x_g}{Z - f} \Rightarrow d = x_g - x_d = \frac{f \cdot b}{Z}$$